

自动化丛书

同步电动机激磁自动调节

〔苏联〕Д. П. 别捷林著 周永刚译

上海科学技术出版社

73.2536
290

自动化丛书

33

同步电动机激磁自动调节

〔苏联〕Д. П. 别捷林 著

周永刚 譯 赵安泰 校

2k611/32/

五·三·八

上海科学出版社

内 容 提 要

本书是“自动化丛书”之一。丛书内容包括自动学及运动学的理论，自动装置、元件和仪器的结构及应用等。丛书选题主要取自苏联及其他国家的有关资料，也包括国内编写的专题论著。本丛书由“自动化丛书编辑委员会”主编。

本书研讨工业同步电力拖动激磁自动调节的规律和在激磁调节情况下同步电动机的工作方式。对带有和不带电机激磁机的同步电动机激磁自动调节的现代化系统和元件进行了论述。同时还研究了同步电动机在起动和再同步情况下激磁自动控制的原理。

本书可供从事于同步电力拖动设计和运行工作的工程技术人员参考。

АВТОМАТИЧЕСКОЕ РЕГУЛИРОВАНИЕ ВОЗБУЖДЕНИЯ СИНХРОННЫХ ДВИГАТЕЛЕЙ

Д. П. Петелин

Госэнергоиздат • 1961

自动化丛书(33)

同步电动机激磁自动调节

周永刚 谭 赵安泰 校

自动化丛书编辑委员会主编

上海科学技术出版社出版 (上海瑞金二路450号)
上海市书刊出版业营业登记证 093号

上海市印刷六厂印刷 新华书店上海发行所发行

开本 787×1092 1/32 印张 3 4/32 排版字数 67,000
1964年7月第1版 1964年7月第1次印刷 印数 1—9,000

统一书号 15119·122 定价(科六) 0.38 元

前　　言

提高功率因数和改善供电系統与电能用戶的技术經濟指标最有效的方法之一，就是采用带有激磁自动調節的同步电动机。本书涉及研究同步电动机的激磁自动調節問題和它在起动时激磁的自动控制。书中叙述了采用激磁自动調節系統时同步电动机的工作方式，以及带有和不带电机激磁机的激磁自动調節系統构成原理。研究同步电动机激磁自动調節的一些动力學問題，与同步电动机在起动和再同步时激磁自动控制的原理。本书試圖向讀者介紹同步电动机激磁自动調節的各项最新課題与一些現已应用的激磁自动調節系統及其元件。全书共有五章。

第 1 章綜述在工頻線路中工作的同步电动机激磁自动調節的各项課題，探討各种工作方式并有示例和建議。

第 2 章研究带有电机激磁机的同步电动机激磁自动調節系統。

第 3 章叙述不带电机激磁机的同步电动机激磁自动調節系統。

第 4 章闡述强迫激磁的选择問題，同步电动机激磁自动調節系統的稳定性（靜态稳定性），并且指出了研究同步电动机激磁自动調節系統（动态稳定性）的方法。

第 5 章讲解同步电动机起动和再同步时的激磁自动控制原理。

目 录

前 言

第1章 采用激磁自动调节的同步电动机的工作方式	1
1. 問題概述	1
2. 計算带激磁自动调节的同步电动机工作方式的基本原 理	7
3. 保持供电变电站母綫电压恒定的同步电动机激磁調節 規律	11
4. 保持电动机輸出无功功率恒定的激磁調節規律	16
5. 保持功率因数 $\cos \varphi$ 恒定且損耗最小的同步电动机激 磁調節規律	20
6. 根據內移角 Θ 自動調節激磁時同步电动机的工作方式	23
7. 根據定子电流自動調節激磁時同步电动机的工作方式	26
8. 对選擇同步电动机激磁自动调节規律的几点意見	30
第2章 带电机激磁机的同步电动机激磁自动调节系統	35
9. 保持电动机端电压恒定的激磁自动调节系統	35
10. 保持輸出无功功率恒定和功率因数恒定的同步电动机 激磁自动調節系統	39
11. 同步电动机激磁根据角度 Θ 自動調節的系統	42
12. 同步电动机激磁根据定子电流自动調節的系統	44
第3章 不带电机激磁机的同步电动机激磁自动调节系統	48
13. 利用离子变流器进行脉冲控制的同步电动机激磁自动 調節系統	49
14. 带整流接触式激磁調節器的同步电动机	56
15. 复激磁同步电动机	58
16. 带机械整流器的同步电动机	62
第4章 同步电动机激磁自动调节的某些动力學問題	65

第5章 同步电动机起动和再同步时激磁的自动控制	79
17. 同步电动机各种起动和再同步方式的一般特性	79
18. 带固接激磁机的同步电动机的激磁和同步	82
19. 同步电动机起动和再同步时激磁自动控制的原理	84
参考文献	90

第一章

采用激磁自動調節的同步 電動機的工作方式

1. 問題概述

同步電動機由於其本身結構的特點和具有高技術經濟指標，在工業中應用日廣。如在泵和送風設備、氣體和空氣鼓風機等這些具有平穩負載曲線的工作機械中一樣，同步電動機也應用在各種具有明顯變化負載機械的拖動中。例如礦山工業中的圓錐式、顎式和錘式破碎機，球磨機和棒磨機，化學工業中的橡膠混合器，石油采油場中的鑽機，金屬的剪床和鋸床，連續式軋鋼機，往復式壓縮機，可逆軋鋼機交流設備的拖動，矿井卷揚機，高爐裝料卷揚機，大功率挖掘機和許多其他機械^[33,43~45]。

應用最廣的是功率在 200 千瓦及以上的大、中功率同步電動機。但是，阿塞爾拜疆石油采油場中使用不帶電機激磁機的同步電動機的運行經驗表明^[15,16]，同步電動機的應用範圍可以擴大到一定的小功率，如 10~50 千瓦。因為上述機械中大部分的負載特徵是軸上的功率變化較大，從近於空載功率值可變化到額定功率值的 2~3 倍。因此，同步電動機在激

磁不变的情况下，其无功功率将产生急剧的变化。这对电动机的损耗和轉矩的利用以及供电电网都将引起一系列不良的現象，促使无功能量輸出降低，电网中产生附加能量損耗以及供电系統中电压波动等。这种电力拖动直到最近由于設計了慣性拖动才得到比較滿意的工作。但是，在这种情况下，往往需要采用非系列、特殊設計、提高容量的同步电动机。現代解决这类任务的途徑是采用同步电动机激磁自動調節，这种激磁自動調節可以使电动机得到充分利用，同时也能保証供电系統具有良好的技术經濟指标。

在变化負載情况下工作的同步电动机，其激磁調節之所以合理是出于以下的考慮。当軸上的功率变化很大时，为保証同步电动机具有足够的动态稳定性，在有負載的時間內，激磁必須保持在最高水平。同样，为保証同步电动机具有良好的經濟和能量指标，在不帶負載的時間內，激磁电流应适当减小。如果研究一下同步电动机的总損耗公式，上述情况即可以得到証实。总損耗公式具有下列形式

$$\Sigma P = P_m + P_c = I^2 r + i_s^2 r_b + k_c \Phi^2 \quad (1)$$

式中 $P_m = I^2 r + i_s^2 r_b$ ——电机的銅損，由定子繞組和激磁繞組的热損耗构成；

$P_c = k_c \Phi^2$ ——电机的鐵損。

在負載降低且激磁电流不变时，通常电动机具有超前的 $\cos \varphi$ 。这时，电樞反应的磁通是加强磁化，电机的总磁通增加。因此，电机中和 Φ^2 成正比的鐵損大大增加。在这种情况下，激磁繞組中的热損耗 $i_s^2 r_b$ 保持不变，而定子繞組中的損耗 $I^2 r$ 則減小了，虽然由于激磁方式的不同，可以保持在原有的水平或甚至由于无功电流的作用而有所增加。很明显，当負載減小时，同步电动机激磁的減小使电机的总損耗減小，結

果，其发热也减小。因之，当电动机轴上严重过载时，为了提高动态稳定性，可以在激磁繞組中給予最大的电流而无須担心其过热。因为同步电动机的轉矩由下列关系式确定

$$M = \frac{mU_n E}{\omega_c x} \sin \Theta \quad (2)$$

很明显，根据負載调节其激磁就可以改善电动机轉矩的利用。

为了保証供电电网具有高技术經濟指标，要求同步电动机向电网輸出最大的无功能量。輸出的无功能量值应当根据供电电网的工作方式和同步电动机的負載而有所变化，这一点利用同步电动机根据一定的規律进行激磁自动調節即可达到。因此，同步电动机的激磁自动調節对于研究工业企业电网中电压局部調節的問題有很大帮助。

利用同步电动机的激磁自动調節可以消除系統某些环节电压降低时无功功率不足的現象。这样即給异步电动机、也給同步电动机的直接起动和自起动創造了有利条件。

同步电动机激磁自动調節的任务与拖动装置的具体工作条件有关，与电压严重降低时保証供电系統稳定性的要求有关，与电压局部調節的要求有关。解决这一任务的方向是选择激磁調節的規律和自動調節系統的設計原則。

同步电动机在变化負載的拖动装置中应用时，有很多不同的方式，它們可以分为 3 类：(1)与工作机械的負載曲綫类型有关的；(2)与接到供电給同步电动机的变电站母綫上的負載特性有关的；(3)与改善电动机及供电系統工作方式的任务有关的。

第 (1) 类都是功率达数千以至数万千瓦的同步电力拖动装置，它們是供电变电站母綫上唯一的电能用戶，或者至少也是电能的主要用戶。典型的負載曲綫是可調節的冲击負載

(如轧钢机, 往复式压缩机等的拖动)。改善工作方式的任务在于保証电动机的稳定性和經濟性, 保証电网中能量的損耗最小和使电网中电压的波动最小。

第(2)类是功率在数百到数千千瓦的同步电力拖动装置, 变电站母綫供电給同步电动机的同时还供电給其他类型具有可比容量的負載(主要是异步电动机)。同步电力拖动装置的負載曲綫可以是可調节的, 也可以是不可調节的。工作延續時間与停歇时间相比, 可以是小的, 也可以是大的(如型鋼連續式軋机, 矿山深井卷揚机以及其他許多拖动装置)。在这种情况下, 同步电动机激磁調节的目的是改善該变电站母綫上所有电能用戶的技术經濟指标。

第(3)类是一些中小功率(200 千瓦以下)的同步电力拖动装置, 其总安装功率可以为企业全部安装功率的一半或一半以上。負載曲綫通常变化明显, 時間不同。对于这一类拖动装置, 同步电动机激磁調节所要解决的任务是在能量損耗最小的情况下提高企业电力装置的功率因数。工业企业电网中电压局部調节的任务可以通过同步电动机的激磁調节来解决, 这些同步电动机可以工作于恒定的負載, 也可以工作于变化的負載, 但这时必須采用电动机激磁按电压自动調节的系統。

显然, 在每个具体情况下, 为了合理地設計自动电力拖动, 要求同时考慮許多因素。选择拖动的类型及其电气机械参数的自動調节系統只有在比較技术經濟的基础上才能最終地作出决定。設計自动同步电力拖动时, 应当对投資、电能損耗、运转費用进行比較。此外, 还应当考慮同步电动机某些特殊的特性。例如当事故电压降低时进行电压調节和提高无功功率的可能性。还应当看到, 采用保持供电变电站母綫电

压恒定的激磁自动调节的同步电动机，从技术经济指标的角度来看，还给其他电能用户创造了良好的工作条件。文献[45]对同步电动机技术经济的优越性有详细的论述。

同步电动机的激磁自动调节设备与整个激磁系统密切地关联着。电动机激磁增长速度对激磁系统一般没有特殊的要求(100到1000千瓦的电动机按 ГОСТ 8585-57, 1000千瓦以上的电动机按 ГОСТ 8704-58)。只有在负载剧烈变化下工作的同步电动机激磁系统例外，在这种情况下，照例，激磁系统应当保证有实现电动机强行激磁的可能性，此时激磁回路的电压和电流应当最大，且激磁电流达到最大限值的时间应当最短，后者取决于采用电压上限值高的激磁机，而这将使激磁机的尺寸加大很多。然而，对于功率在10000千瓦以上具有冲击负载的同步电力拖动，采用大功率的电机激磁机在某些情况下已经证明是完全正确的。利用可控汞弧整流器作激磁机在很多情况下可以更容易地解决同步电动机强行激磁的任务。实际上，能满足电动机激磁按给定规律，例如 $Q=$ 常数，进行调节所要求的强激系数的平均值在过渡状态下为3~5。在这种强激的情况下，激磁调节时间较冲击负载持续的时间要小好几倍。冲击负载持续的时间，例如在型钢连续轧机的拖动中平均为60~100秒，在高炉料斗卷扬机和交流设备的拖动中平均为5~10秒。

为了提高激磁的可靠性和增大最大激磁电流，建议在激磁系统中尽量避免采用任何继电接触式元件和附加电阻。应当广泛采用将激磁机和调节器与激磁绕组直接的接法。

对同步电动机激磁自动调节系统有下列基本要求：

- (1) 当供电电网工作方式改变时能保持稳定工作；
- (2) 保证在给定工作方式下的稳定性；

- (3) 进行调节所依据参数的测量要简单且可靠，测量元件变送器要灵敏度高；
- (4) 调节器和整个激磁调节系统具有高度的运转可靠性；
- (5) 由调节器本身或激磁调节系统各个元件的惯性所引起的时滞应当尽可能小。

借同步电动机按下列参数进行激磁自动调节，可使电动机及供电系统保持所需要的工作方式。这些参数是电压 U ，无功功率 Q ，电流和电压的相位角 φ ，定子的有功电流 I_a 和总电流 I ，以及定子和转子磁场轴线的内移角 Θ 。调节系统可作成直接作用的（这时，同步电动机激磁的调节由敏感元件的能量来实现），也可作成间接作用的（这时，同步电动机激磁的调节由中间放大器的能量来实现），可以装有直接测量被调量的变送器，也可以装有利用间接的方法测量被调量的变送器。

在根据所要求的工作方式解决电动机和供电系统的经济性和稳定性问题时，要考虑下列同步电动机激磁调节规律：

- (1) 电动机的激磁调节在供电变电站母线电压恒定情况下进行，并受转子最大及最小电流的限制；
- (2) 电动机的激磁调节按输出无功功率恒定，即 $Q = \text{常数}$ 情况下进行；
- (3) 电动机的激磁调节按功率因数恒定，即 $\cos \varphi = \text{常数}$ 情况下进行；
- (4) 电动机按内移角 Θ 进行激磁调节；
- (5) 电动机按定子电流 I 进行激磁调节。

为考虑改善现有同步电力拖动技术经济指标的可能性和在设计能同时保证供电系统具有良好工作方式的新系统时考

虑这些指标的可能性，采用同步电动机激磁自动調節是适时的并具有現實性。

2. 計算帶激磁自動調節的同步電動機 工作方式的基本原理

为了对带有激磁自动調節的同步电动机工作方式进行数学的計算，必須确定一系列决定激磁系統中电压、电流和电动机过載能力的各种关系式，使可用以計算电动机的工作特性和供电电网工作方式的主要技术經濟指标（如向电网輸送的无功能量，供电变电站母綫电压的波动，电网中能量的損耗等）。确定这些关系式可根据隱极同步电动机的簡化矢量图（图1）。磁飽和对电动机参数的影响可以忽略不計。在必要时（例如在确定电动机的过載能力和工作特性时）可以利用繪制 Потье 图和輔助調節特性曲綫族来考慮磁飽和的影响^[34]。

使用图1的簡化矢量图时，要求电动机中沒有有功損耗，在有些情况下，例如在計算复激磁同步电动机工作方式时，这样会引起明显的誤差。供电电网的电压必須是不变的，并等于額定电压。采用这些假設在实际工作上对带有激磁自动調節同步电动机工作方式进行质和量的估計时具有足够准确度①。确定所需的相互关

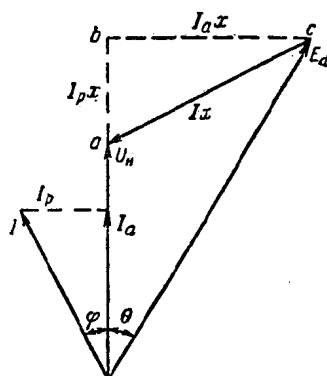


图1 同步电动机的簡化矢量图

① 在必須利用精确的关系时，在叙述过程中，将指出所引用的参考文献。——原注

系已在文献[13, 17, 34]中有所阐述。

根据电动机的矢量图(图1)确定下列关系式

(1) 电动机定子电流的无功分量

$$I_p = \frac{\overline{ab}}{x} = \frac{E \cos \Theta - U_n}{x} \quad (3)$$

而在额定工作方式时

$$I_{p,n} = \frac{E_n \cos \Theta_n - U_n}{x} \quad (4)$$

式中 E ——同步电动机的电势；

Θ ——电动机的内移角；

U_n ——定子的端电压；

x ——电动机的同步电抗。

(2) 电动机定子电流的有功分量

$$I_a = \frac{\overline{bc}}{x} = \frac{E \sin \Theta}{x} \quad (5)$$

而在额定工作方式时

$$I_{a,n} = \frac{E_n \sin \Theta_n}{x} \quad (6)$$

(3) 无功功率,以相对单位表示

$$q = \frac{Q}{Q_n} = \frac{I_p}{I_{p,n}} = \frac{E \cos \Theta - U_n}{E_n \cos \Theta_n - U_n} \quad (7)$$

(4) 电动机轴上的功率,以相对单位表示

$$P = \frac{P}{P_n} = \frac{I_a}{I_{a,n}} = \frac{E}{E_n} \frac{\sin \Theta}{\sin \Theta_n} = \varepsilon k_n \sin \Theta \quad (8)$$

式中 $\varepsilon = \frac{E}{E_n}$ ——电动机的电势,以相对单位表示;

$k_n = \frac{P_{max,n}}{P_n} = \frac{1}{\sin \Theta_n}$ ——同步电动机在额定电势时的过载能力。

(5) 同步电动机的过载能力

$$k = \frac{M_{\max}}{M_n} = \frac{P_{\max}}{P_n} = \frac{P_{\max,n}}{P_n} \cdot \frac{E}{E_n} = k_n \epsilon \quad (9)$$

(6) 在电动机具有额定负载时，供电电网的额定电压和额定电势具有下列关系

$$U_n = E_n (\cos \theta_n - \sin \theta_n \operatorname{tg} \varphi_n) \quad (10)$$

式中

$$\operatorname{tg} \varphi_n = \frac{Q_n}{P_n}$$

选择同步电动机最有利的额定 $\cos \varphi_n$ 要根据经济标准^[23]。仅当同步电动机的额定功率超过某一定值时，具有超前的 $\cos \varphi_n = 0.8 \sim 0.9$ 才是适宜的。小功率同步电动机最好制成具有 $\cos \varphi_n = 1$ 。

将式(7)、(8)和(10)联立求解，可以确定下列关系式

$$q = \frac{\sqrt{\epsilon^2 k_n^2 - p^2} - \sqrt{k_n^2 - 1} + \operatorname{tg} \varphi_n}{\operatorname{tg} \varphi_n} \quad (11)$$

或

$$\epsilon = \frac{\sqrt{p^2 + [(q-1) \operatorname{tg} \varphi_n + \sqrt{k_n^2 - 1}]^2}}{k_n} \quad (12)$$

式(11)在激磁按给定规律调节时可以用来计算电动机的无功功率(如果轴上之功率已经给定)和确定在各种不同负载下 $\cos \varphi$ 变化的特性。

式(12)可以用来确定电动机在给定工作方式下的电势。

计算复激磁同步电动机的工作方式时可以利用下列关系式：

转矩方程式

$$M = \frac{U_n E}{z} \sin(\theta + \rho) - \frac{E^2 R}{z^2} \quad (13)$$

式中 $z = \sqrt{x^2 + R^2}$; $\rho = \arccos \frac{R}{z}$;

$R = r_1 + r_{\text{t.t}} + r_{\text{BIM}} + r_B$ —— 定子繞組电阻, 电流互感器电
阻, 整流器电阻和接到定子繞
組上的电动机激磁繞組 电阻
四个电阻之和。

从电动机簡化矢量图得到的电势方程式具有下列形式

$$E = \sqrt{(Ix)^2 + 2IxU_n \sin \varphi + U_n^2} \quad (14)$$

$$(Ix)^2 = E^2 + U_n^2 - 2EU_n \cos \Theta \quad (15)$$

复激磁同步电动机在 $\cos \varphi = 1$ 时, 最大可能的反轉功率
可以按下式确定^[12]

$$P_{\text{max}} = \frac{U_n^2}{4a} - b \quad (16)$$

式中 a —— 和定子电流平方成正比的相对銅損;

b —— 定子的相对鐵損。

式(16)适用于小功率同步电动机, 它們的过載能力基本
上取决于定子的电阻。

电网中任何一部分的能量損耗和該部分电网所傳輸的总
功率平方成正比, 即与下列数值成正比

$$\frac{\int_0^T (P_c + P)^2 dt + \int_0^T (Q_c - Q)^2 dt}{T} \quad (17)$$

式中, $P_c - jQ_c$ 为用户的总功率, 但其中不包括同步电动机的
功率。

因为同步电动机激磁自动調節时仅无功功率变化, 所以
很明显, 下列积分值愈小則电网中該部分的能量損耗也就愈
小

$$\frac{\int_0^T (Q_e - Q)^2 dt}{T} \quad (18)$$

假設电动机在激磁自动調節时，如果按发热來說已經滿載且 Q_e 与時間无关，则可得出

$$\frac{\int_0^T (Q_e - Q)^2 dt}{T} = Q_e^2 + Q_h^2 - 2 \frac{Q_e}{T} \int_0^T Q dt \quad (19)$$

由式(19)可以看出，在电动机的等效无功功率給定的条件下，即当 $Q_e > Q_h$ 时，如果同步电动机輸出的无功能量增加，则电网中能量的損耗就减少。

供电电网中电压的波动与有功和无功功率的变化有密切关系。因此，只有在研究了电动机激磁調節的各种規律以后，才能对它作出定性的估計。

下面将根据电动机和供电电网所要求的工作方式研究激磁調節的各种規律。

3. 保持供电变电站母綫电压恒定的 同步电动机激磁調節規律

保持供电变电站母綫电压不变的激磁調節之所以合理是根据这样一个简单的事实，即电压与額定值的任何偏差都将引起同步电动机以及由同一变电站母綫供电的其他电能用户工作条件(技术經濟指标)的恶化。工厂电网和供电線路所負載的有功及无功功率是随时都在随着个别用户負載的变化以及其他电能用户按生产工艺的要求接通和断开負載而变化着的。因为，工业企业的电力设备一般都是通过降压变压器、电抗器和其他中間装置从电力系統供电，所以，由这些元件和線路中电压降所引起供电变电站母綫电压的波动与有功功率和